

## 斜面における橋梁基礎の応力状態について

名城大学 正員 ○清水泰弘  
名古屋大学 正員 川本聰万

## 1. 諸 言

山岳地に道路を建設することが近年多くなり、それに伴って架設される橋梁の斜面上の基礎構造の力学的挙動や安定性の問題が重用研究課題となってきた。このような斜面上での下部構造形式としては一般に直接基礎、ケーソン基礎、深礎基礎が多く用いられているが、地形、地質条件および施工条件からその形式が決定されるのが普通である。しかし基礎と地盤とを一体構造（三次元状態）とした取り扱いや地盤の力学的特性の導入などの困難さのために現在の斜面上の基礎および周辺地盤の応力や変形状態の解析はかねばね十分ではないようと思われる。そこで、こゝでは一応、斜面上の円形断面の深礎基礎を考えて、三次元光弾性実験による基礎周辺の応力状態の解析をおこない、さらに、有限要素解析法を用いて水平スライスに対する二次元解析と深礎杭の梁としての解析とを組合せた方法について検討した。

## 2. 三次元光弾性実験

一般に実験を行うにあたり、次のような諸要素を考慮されねばならない。  
 [a] 地形（斜面の方向、角度）、  
 [b] 地層、地質、  
 [c] 地盤と構造物の関係（弾性係数比、タッチの状態）、  
 [d] 構造物の形状、材質、  
 [e] 荷重、  
 [f] 構造物の位置、特にショルダー幅について。これらの中、今回の三次元光弾性実験では、斜面角度を45°として、ショルダー幅

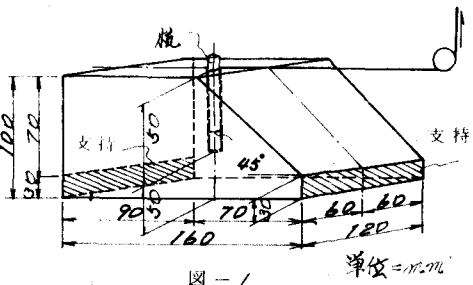
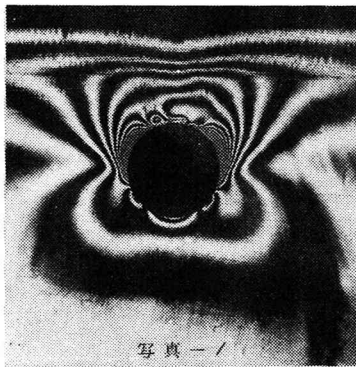


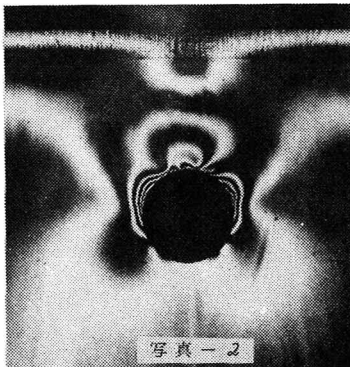
図-1

が応力状態に及ぼす影響について検討した。そのため、ショルダー幅αと基礎杭直径Dとの比が、0.5、1.0、1.5、2.0の4種の模型合計8ヶについて実験を行なった。模型の形状は図-1に示すとおりである。そして、 $\phi 10.5 \times 50\text{ mm}$  の孔を開けたところに、円形断面の深礎杭として $\phi 10.0\text{ mm}$  の Polycarbonate Resin の丸棒を挿入し使用した。荷重としては谷側方向（法面と直角）に水平荷重  $H = 5\text{ kg}$  を載荷した。地盤および深礎杭として、それぞれ硬質砂岩およびコンクリートを想定、それらの弾性係数比を1:90と考へて、三次元光弾性実験では、地盤に Epoxy Resin (アテルダイトB) を基礎に Polycarbonate Resin を使用した。各々の弾性係数は高温で Epoxy Resin が  $1.56\text{ GPa/mm}^2$  、 Polycarbonate Resin が  $141.9\text{ GPa/mm}^2$  である。図-1に示すように模型を三次元応力凍結炉内でキドアンダルで構組をし前背面の下より30mmの幅に木製パッキンを入れ支持し、炉外よりニフローラーとワイヤーで載荷して応力凍結を行なった。また、比較のために  $a/b = 0.5 \sim 3.0$  まで6ケースの模型について三次元光弾性実験を行なった。応力凍結された三次元模型 ( $a/b = 0.5$ ) の場合の各水平スライスに対する等色線のうち、上面からの深さ、 $R = 0.15D$  (第一層)、 $0.62D$  (第二層)、 $0.95$  (第三層) のものを示すと写真-1～3のようである。 $(\sigma_1 - \sigma_2)$  の最大値は荷重方向より約

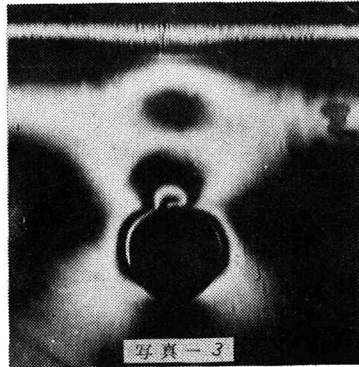
$60^\circ \sim 70^\circ$  の方向に見られ、最大値より A 点（図-3 参照）の応力がかなり小さく表れている。この傾向は二次元実験の結果からも観察される。



写真一／



写真二／



写真三／

$a/D$  が大きくなるにつれて A-E 間では一様な応力分布を示さず波状に変化することが見られた。上部より下部に行くにしたがい、谷側応力はしだいに減少して行き、下部近辺では山側に応力が出来るのが一般的であるが、A-E 間（図-3 参照）では波状の応力分布が表われる。波状に応力分布が表われる同じケースでは垂直方向にも波状の応力分布が見られる。各ケースのオーバー層（最上面）における応力状態についてまとめるところのようである。図-2 に孔の周辺応力分布を（ $\sigma_1 - \sigma_2$ ）で、図-3 に各点の最大剪断応力を示す。

二次元実験では三次元実験より実験値のバラツキはさわめて少なく、しかも  $a/D \leq 1.0$  では  $(\sigma_1 - \sigma_2)$  の分布はほとんど変わりがない。 $a/D = 0.5$  の  $(\sigma_1 - \sigma_2)$  の分布は、三次元の場合の分布に似ているこれは  $a/D$  が小さくなつたため、谷側方向の特に基礎杭の前部の変位が大きくなり、A 点での応力分布が減少したと思われる。また、C 点、E 点（図-3 参照）においては逆に応力が増した。図-4 に  $a/D = 1.0$  の場合の等傾線と主応力線図を、図-5 に孔周辺の  $(\sigma_1 - \sigma_2)$  の分布、図-6 に I、II、III の点の  $(\sigma_1 - \sigma_2)/2$  と  $a/D$  に対する変化を示す。

### 3. 有限要素法による近似的な取り扱い

深基礎の安定計算においては水平抵抗力が支配的な因子になるが、斜面においては基礎より谷側の地盤が有限に作用るために斜面と基礎との間の距離が必ず問題になる。一般に図-7 に示すような場合には原理的に三次元有限要素法が可能であるが、電算機の容量及びインプットデーターの複雑さから次のように近似的に取り扱いを行つた。すなわち、図-8 に示す基礎を含めた地盤をいくつかの平行断面で切り、その各断面について平面ひずみの状態で図-8 に示す荷重状態で二次元有限要素

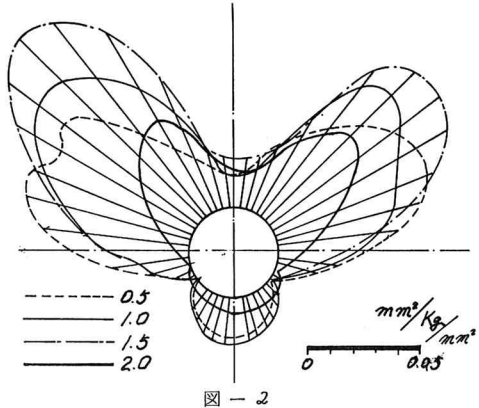


図-2

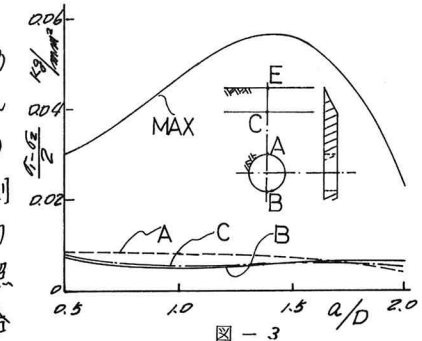


図-3

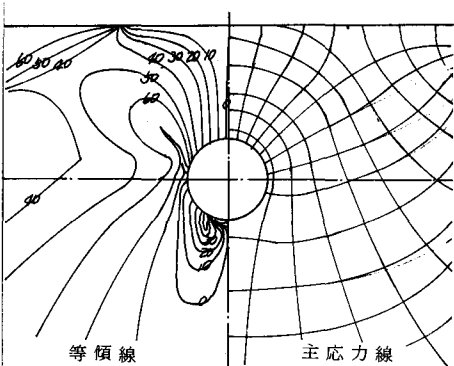


図-4

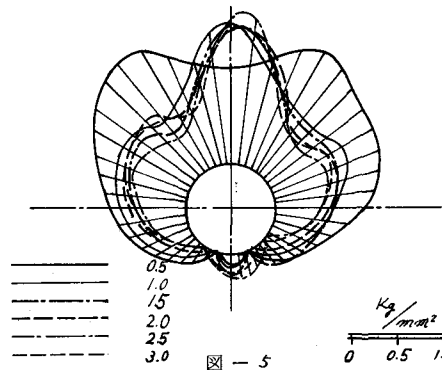


図-5

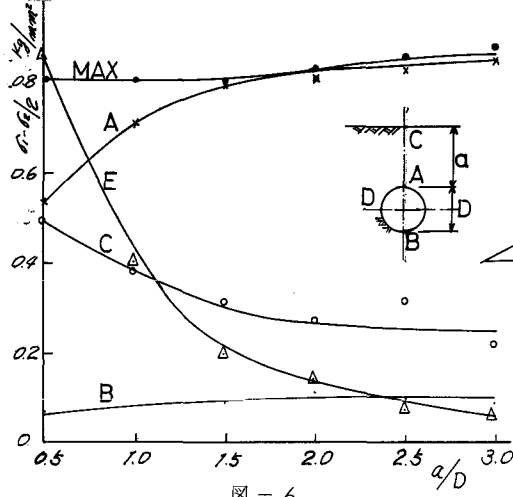


図-6

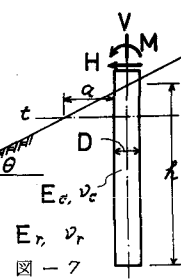


図-7

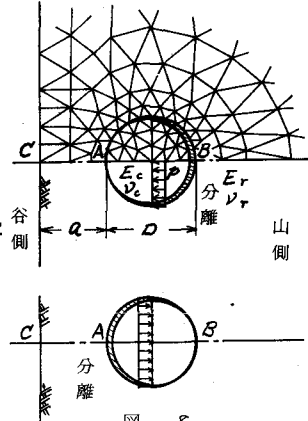


図-8

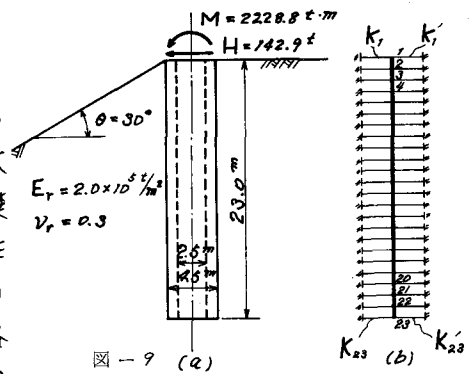


図-9 (a)

K\_{23} (b)

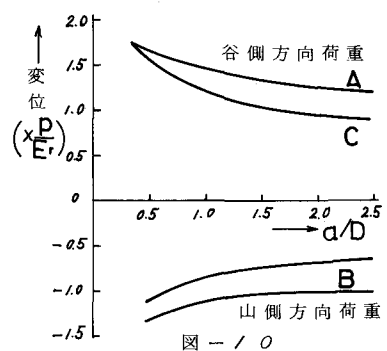


図-10

解析をすることにより、荷重と基礎周辺のA点あるいはB点の変位との関係を求めて、その断面での地山とのバネ常数を決定する。次に深礎をそれらのバネ常数をもつ弾性基礎上の梁(図-9(b)参照)と考えて、外荷重、M、Hを作用させて、深礎の変形量に対する地盤内の応力状態を元の二次元解析結果から算出する。この場合、 $K_u$ は荷重が谷側にかかるときのバネ常数であり、 $K'_u$ は山側に荷重がかかるときのもので、いずれも荷重方向と反対側では深礎と地山とははれているものと考えて計算している。(図-8参照)荷重H及びMに対して計算する場合、まず $K_u$ 、 $K'_u$ が作用するものとして計算し、その結果をもとめられる深礎の変形状態より伸びる側のバネをはずして再び計算し直すことにより、深礎と地山との分離を考えている。今、コンクリートと地盤の弾性係数比を $E_c/E_r$ とし、ボアソン比をそれぞれ $\nu_c = 0.25$ 、 $\nu_r = 0.3$ として、図-8に示すような要素分割で、深礎の直徑に沿う等

分布荷重  $P$  を作用させた場合の解析を行った。A、B、C 点の変位量と  $a/D$  の関係を示すと、図-10 のようである。谷側荷重の場合、A 点の変位量に対して、また山側荷重の場合には、B 点の変位量に対して地山のバネ係数  $K = P/\delta_i$  ( $i = A, B, C$ ) を求めると、その値は  $a/D$  に対して図-11 のように変化する。

このようにして求めた地山のバネ係数を用いた図-9 に示すように寸法および荷重の深さ比  $(b/a)$  が弹性支持された杭として一次元有限要素法で解いた結果の内、深さの変形状態を示すと、図-12 のようである。ここで、Case 1 は谷側と山側のバネを用いたとき、Case 2 は谷側のバネのみを用いた場合、Case 3 は繰り返し計算により、変形状態に対応した節面荷重をもとの二次元解析結果に再び用いたとき、地山内の応力状態を求めることができる。その詳細及光弾性実験との比較は発表会当日報告する。

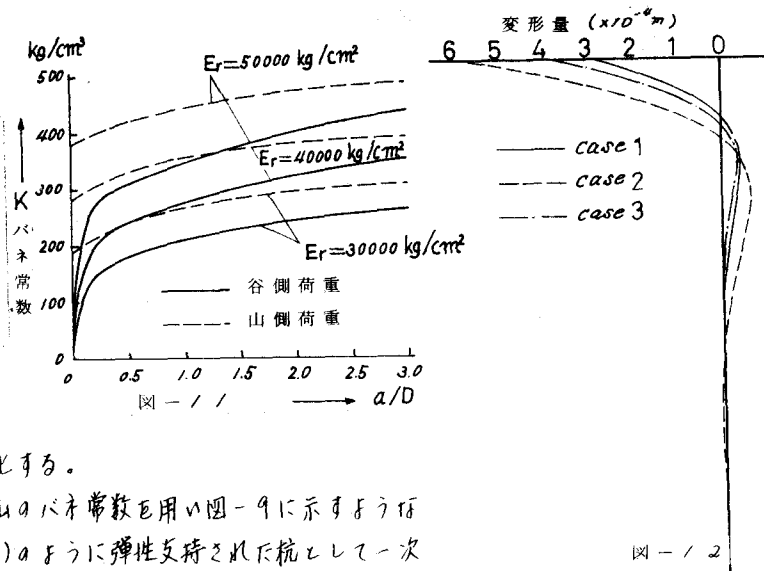


図-11